

住宅地区における交通環境評価に関する一考察

大阪市立大学 工学部 正員 西村 昂
近畿大学 理工学部 〃 三星 昭宏
近畿大学 工学部 〃 ○高井 広行

1. 研究の目的と方法

1. 1 研究の目的 環境評価に関する研究が近年多くなされてきてはいるが、ここでは自動車交通とともに多い沿道住民の生活環境のうち、マイナスの側面、すなわち住民の日常生活にとって妨害となるものを対象に、その評価法を考察する。まず、交通量などの物理的なデータと、住民の意識調査結果を用いて、項目相互間の関係を分析する。さらに、住民自身が「総合的」として行った評価をもとに総合評価と試みる。環境の総合化は議論を要するところであるが、過去において、交通環境の総合化については、住民がうけた対策優先順位とともに各因子の重みづけを行った青島らの研究⁽¹⁾や、住民自身の総合評価をそのまま用いて、個別の要因や指標を独立変数として回帰式や数量化理論により、評価式、評価モデルを作成した筆者らの研究⁽²⁾⁽³⁾などがある。ここでは後者の方法を踏まえながらも、単一の評価式やウェイトを設定する決定的方法論⁽⁴⁾がなくことを考慮して、各種の評価式をそのままいかして、それらを用いて評価値を算出しなおし、異なる評価式による評価値の分布をみて、最終的な評価法を決定するという手順ととてはいる。

1. 2 データの概要 ここで用いられるデータは昭和48年に大阪交通科学研究所都市交通運用班が大阪府下12地区で行った調査⁽²⁾、昭和51年に生活ゾーン規制研究会⁽⁴⁾が行なった地区調査、同年近畿大学工学部防災研究室で行った広島市地調査である。これらは共通の設問と一部物理的調査を含んでおり、それを利用することにしたが、地区の範囲は調査により異なっているため、対象とする主な街路沿道を一つのデータベースとするブロックデータ（昭和51年3地区調査）と地区全体をデータベースとする地区データに編集しなおした。意識調査は各ブロックごとに集計し、各設問の被害率や回答率を求めた。また、データ項目数の少ないものと除くなどの作業の後、23ブロック、22地区の2種類のデータファイルを作成し基礎データとした。

用いられた指標を大別すると、道路交通の物理的な状態を示す「物理的交通環境指標（以後、物理指標とよぶ）」と交通環境に関する意識調査を集計し、回答率の形で示す

「交通環境意識指標（以後、意識指標とよぶ）」になれる。

後者とさらに、騒音、振動といった個別の内容に関する「個別交通環境意識指標（以後、個別意識指標とよぶ）」と

全体的な評価である「総合交通環境意識指標（以後、総合意識指標とよぶ）」とに分けられる。（表1）これらの設定は参考文献⁽⁵⁾を基礎としている。今回用いた調査で対象としている道路は、住宅地区内の地区幹線道路または準幹線道路といったランクであり、大幹線道路は対象としていないことや

道路構造データが完備されていないことにより、物理指標は、ここでは道路交通に関する指標のみとした。意識指標は各項目の選択肢の回答率たとえば、「強く感じる」、「やや強く感じる」など3～5段階の回答率をそれぞれ取ったが、さらに、「強く感じる」と「やや感じる」と答えた人々の割合を加え意識Ⅱとし区別した。これらの指標の間の関係および分析の流れを図1に示しておく。

表1 各指標の内容

1. 物理的交通環境指標（物理指標）	
自動車交通量（台/日）	大型車混入率（%）
歩行者交通量（人/日）	
歩行者混入率（%）	自転車密度（台/10m）
2. 交通環境意識指標（意識指標）	
(1) 個別交通環境意識指標（個別意識指標）65%	
騒音被害率の多さの意識、運転の多さの意識、人通りの多さの意識、交通事故、危険、不快感、迷惑、生活妨害、角筋、馬鹿馬鹿意識、振動被害意識、排気ガス迷惑意識、ほこり迷惑意識、おしゃれ迷惑意識	
(2) 総合交通環境意識指標（総合意識指標）（%）	
自動車交通量による迷惑など自家周辺の総合的交通環境意識	

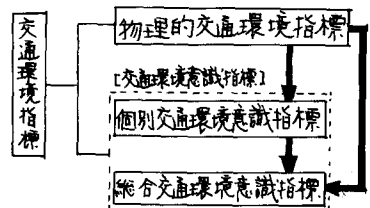


図1 指標間の関係

2. 物理指標と個別意識指標の関係 (23ブロック)

2.1 単相関分析 自動車交通量、大型車混入率、自動車交通量、歩行者交通量、駐車密度、自動車発着密度の6物理指標と各種個別意識指標間の相関係数マトリックス表と表2に示す。物理指標のうち最も個別意識指標と相関関係が強い指標は自動車交通量であり、各個別意識指標と相関係数が0.1~0.7まで分布しており、とくに0.7以上の相関係数を持つ個別意識指標は騒音迷惑意識II(0.741)、振動迷惑意識II(0.715)で、0.6以上では自動車へ交通量意識II(0.671)、排気ガス迷惑意識(0.618)となり、大型車混入率との相関係数はかなり低く、高リモードで騒音迷惑意識II(0.438)、振動迷惑意識II(0.357)である。駐車密度との相関では、駐車迷惑意識III(0.447)が高リモードであり、騒音迷惑意識II(0.319)、振動迷惑意識II(-0.390)と負の相関関係となっている。

2.2 クロス分析 さうに詳しく両指標間の関係を散布図で示す。自動車交通量と自動車交通量意識IIの関係を図2に示す。両者間の相関係数は0.671であるが、図に示すような指数関係型へ分布がうかがわれる。つぎに、自動車交通量と騒音迷惑意識IIの関係を図3に示す。相関係数は0.741と比較的高く、図2と同様に指数関係が見られる。図4には自動車交通量と歩行者迷惑の時の危険不安感意識IIとの危険・不安感意識IIとの関係を示しておき、相関係数が0.516と前述の関係よりもやや低くなっている。また、自動車交通量と駐車希望IIの関係を図5に示しておき、相関係数が0.551とやや低くなっているが正の相関関係がうかがえ。

2.3 重回帰分析 単数個の指標では交通環境を十分に説明しがたい。本節では複数個の物理指標を用いて重回帰分析を行い、各々の関係を示す。表3に示しておき、重回帰分析結果Iでは、自動車交通量、大型車混入率、駐車密度の3物理指標での分析結果である。騒音迷惑意識II、振動迷惑意識IIが0.7以上の重相関係数が得られ、0.6以上で交通量意識II、人通り意識II、排気ガス迷惑意識IIがあり、比較的説明されておりといえが、他

表2 物理指標と個別意識指標の相関マトリックス表

物理指標 (個別) 意識指標	歩行者 交通量	大型車 混入率	台車車 交通量	歩行者 交通量	駐車密度	発着密度
自動車による危険不安感II	0.337-0.066	0.074	-0.070	-0.173	0.211	
自動車の交通量II	0.671-0.033	-0.118	0.159	-0.068	0.268	
駐車車II	-0.125	-0.008	-0.108	0.070	0.447	0.269
騒音II	0.741	0.100	-0.110	0.111	-0.319	0.188
振動II	0.715	0.046	-0.073	0.249	-0.390	0.114
排気ガス迷惑II	0.618	0.139	-0.168	0.118	-0.160	0.192
遊び時の危険不安II	0.515	-0.202	0.073	0.065	0.267	0.468
歩行時の危険不安II	0.247	-0.307	0.114	0.048	0.196	0.248
全体的な迷惑II	0.276	-0.118	0.069	0.000	0.307	0.391
駐車希望II	0.551	0.098	0.123	0.337	0.077	0.487

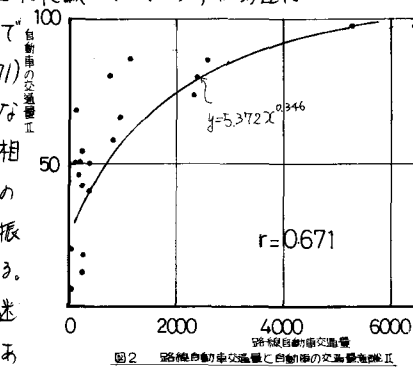


図2 路側自動車交通量と自動車による危険不安感II

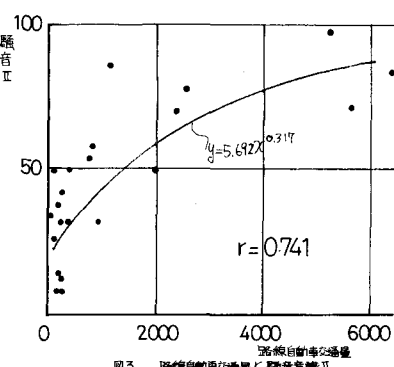


図3 路側自動車交通量と騒音迷惑意識II

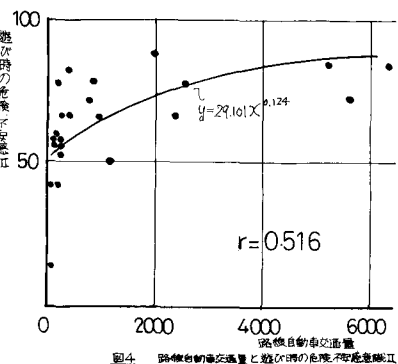


図4 路側自動車交通量と遊び時の危険不安感II

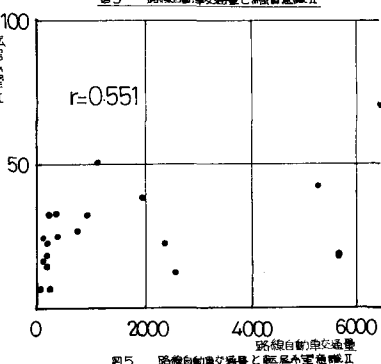


図5 路側自動車交通量と駐車希望II

表3 物理指標による重回帰分析結果 I

説明変数	自動車 交通量	大型車 混入率	駐車密度	重相関係数
被説明変数				
自動車による危険不安感II	0.381	-0.246	0.171	0.426
自動車による迷惑生活妨害II	0.328	-0.163	-0.115	0.380
自動車の交通量II	0.677	-0.211	0.131	0.699
人通りの多さII	0.423	-0.535	0.219	0.612
騒音II	0.721	-0.107	-0.193	0.754
振動II	0.702	-0.202	-0.318	0.756
排気ガス迷惑II	0.600	0.022	0.017	0.619
駐車迷惑II	0.039	0.044	0.403	0.409
遊び時の危険不安感II	0.676	0.329	0.458	0.476
歩行時の危険不安II	0.382	-0.348	0.243	0.492

(注) 表内の数字は偏相関係数

表4 物理指標による重回帰分析結果 II

説明変数	歩行者 交通量	駐車密度	発着密度	車相関係数
被説明変数				
自動車による危険不安感II	-0.178	-0.119	0.409	0.421
自動車による迷惑生活妨害II	-0.224	-0.353	-0.383	0.423
自動車の交通量II	0.220	-0.377	0.433	0.560
騒音II	-0.051	-0.460	0.387	0.493
振動II	0.131	-0.470	0.230	0.521
駐車迷惑II	0.102	0.358	0.024	0.419
遊び時の危険不安感II	-0.052	0.057	0.398	0.475
歩行時の危険不安II	0.102	-0.419	0.540	0.601

を示しておき、相関係数が0.516と前述の関係よりもやや低くなっている。また、自動車交通量と駐車希望IIの関係を図5に示しておき、相関係数が0.551とやや低くなっているが正の相関関係がうかがえ。

表5 個別意識指標の相関マトリックス表(23ブロック)

	自動車による迷惑	駐車II	騒音II	振動II	排気ガス	歩行時の危険不安感II	全般的な迷惑	車両希望II	意識指標(個別)	
自動車による迷惑	1.000	0.663	-0.006	0.762	0.660	0.602	0.507	0.637	0.550	0.579
駐車II		1.000	0.282	0.881	0.839	0.783	0.683	0.611	0.679	0.674
騒音II			1.000	-0.023	-0.047	-0.015	0.267	0.226	0.119	0.287
振動II				1.000	0.921	0.830	0.551	0.466	0.568	0.566
排気ガス					1.000	0.825	0.416	0.437	0.582	0.564
歩行時の危険不安感II						1.000	0.825	0.416	0.437	0.582
全般的な迷惑							1.000	0.550	0.579	0.564
車両希望II								1.000	0.579	0.564
意識指標(個別)									1.000	0.564

の個別意識指標とは0.7程度の重相関係数が得れど、3つの物理指標のみでは困難な点がうかがわれる。つまに、物理指標として、歩行者交通量、駐車密度、自動車発着密度と並び分析を行った結果を表4に示しておるが、重相関係数が前分析より全体的に低く、高いもので歩行時の危険・不安感II(0.601)、交通量意識II(0.560)、振動迷惑意識II(0.521)である。

3. 他の指標は0.4程度である。
3. 個別意識指標相互間の関係

3. 1 単相関分析 個別

意識指標相互間の相関係数をト リックス表とデータベース23ブ ロックのものを表5に、また22 地区のものを表6に示す。23ブ ロックデータで0.7以上の相関 係数があるのは迷惑意識と騒音 迷惑意識II(0.762)、交通量意 識IIと騒音迷惑意識II(0.881)， 振動迷惑意識II(0.889)，排ガス 迷惑意識(0.783)，騒音迷惑 意識IIと振動迷惑意識II(0.921) 排ガス迷惑意識II(0.830)，振 動迷惑意識IIと排ガス迷惑意 識II(0.825)，排ガス迷惑意識 IIと全般的な迷惑意識II(0.753) である。22地区データのマトリ ックス表では、23ブロックと比 べやや高くなつてあり、0.8以 上の相関係数が目立つ。とくに、 迷惑意識と車両希望意識との 関係が比較的高い相関関係にある。

3. 2 クロス分析 23ブ

ロックをデータベースにした各 個別意識指標間の散布図を図6

表6 個別意識指標の相関マトリックス表(22地区)

	自動車による迷惑	駐車II	騒音II	振動II	排ガス迷惑	車両希望II	意識指標(個別)
自動車による迷惑	1.000	0.886	0.881	0.846	0.840	0.846	0.823
駐車II		1.000	0.925	0.907	0.878	0.874	0.821
騒音II			1.000	0.907	0.878	0.874	0.821
振動II				1.000	0.905	0.874	0.821
排ガス迷惑					1.000	0.823	0.821
車両希望II						1.000	0.821
意識指標(個別)							1.000

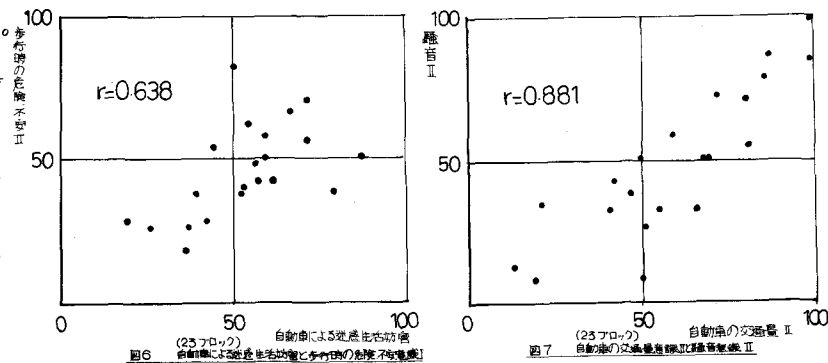


図6 (23ブロック) 自動車による迷惑と歩行時の危険不安感II

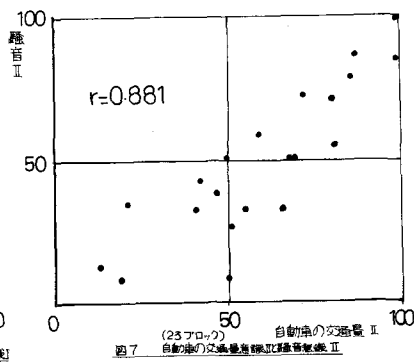


図7 (23ブロック) 自動車の交通量と騒音迷惑

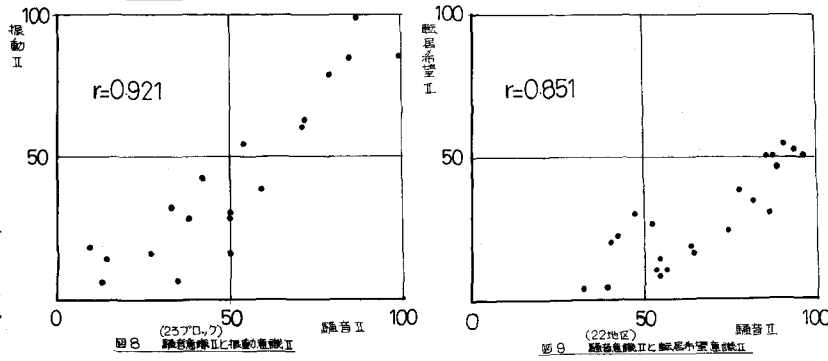


図8 (23ブロック) 騒音迷惑と振動迷惑

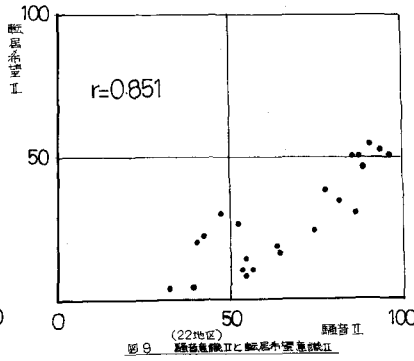


図9 (22地区) 振動迷惑と排ガス迷惑

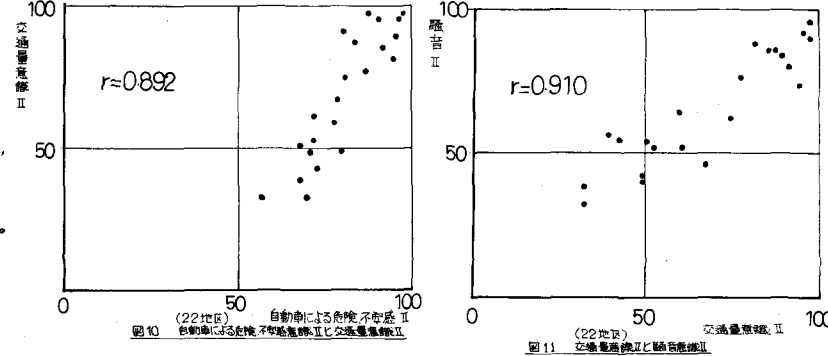


図10 (22地区) 自動車による迷惑と排ガス迷惑

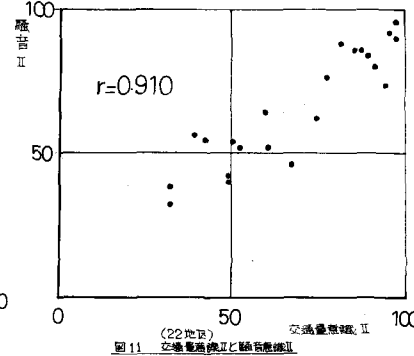


図11 (22地区) 排ガス迷惑と振動迷惑

へ図8に示す。図6は迷惑意識と歩行時の危険・不安感IIの関係であるが、相関係数は0.638で少しバラツキはあるが、迷惑意識の増加とともに危険・不安感も増加している。図7は交通量意識IIと騒音迷惑意識IIの関係であり、相関係数は0.881と高く、また、図8の騒音迷惑意識IIと交通量意識II(相関係数0.921)の関係と同

様、強い正の直線的傾向がうかがわれる。つぎに22地区をデータベースとした個別意識相互間の関係を図9～図11に示す。図9は騒音迷惑意識Ⅱと転居希望意識Ⅱとの関係で相関係数0.851と比較的高く騒音意識が高くなるにつれ、転居希望率も高くなる傾向にある。図10は交通事故の危険・不安感Ⅱと交通量意識Ⅱとの関係である。両指標とも有効率が高く、相関係数も0.892と高く強い正の相関関係にあるといえる。図11には交通量意識Ⅱと騒音迷惑意識Ⅱとの関係を示しており、相関係数が0.910と高い正の相関があり、両指標間に密接な関係があるといえる。以上物理指標と異なり個別意識指標間に比較的密接な関係がある。

3.3 重回帰分析 個別意識

指標による重回帰分析結果を表7、表8に示す。表7は23ブロックをデータベースとし、転居希望Ⅱと個別意識指標の組合せを変え重回帰分析を行った結果である。各分析結果重相関係数が0.7程度と比較的説明力があると言えよう。とくに、交通事故の危険・不安感Ⅱ、交通量意識Ⅱ、歩行時の危険・不安感Ⅱでは0.776、子供への世帯率、交通事故への危険・不安感Ⅱ、交通量意識Ⅱでは0.755、交通事故の危険・不安感Ⅱ、交通量意識Ⅱ、全体的な迷惑意識Ⅱでは0.717となる。表8は22地区をデータベースとして

表7 個別意識指標による重回帰分析結果 I (23ブロック)								
説明変数	老人の有給	子供の有給	自動車による自動車による自動車の 危険不快感Ⅱ	交通事故Ⅱ	騒音Ⅱ	駐車 迷惑Ⅱ	歩行時の 危険不安感Ⅱ	全体的な 迷惑Ⅱ
転居希望Ⅱ	-0.270	0.442	-	0.701	-	-	-	0.755
*	-	-	-	0.455	-	0.025	0.407	-
*	-	0.444	-	0.423	-	-	-	0.743
*	-0.272	-	-	-	0.343	-	0.584	-
*	-	-	-	0.327	-0.058	-	-	0.767
*	-	0.362	0.179	-	-	-	-	0.746
*	-	0.333	-	0.483	-	-	0.374	-
転居希望Ⅱ	-	-	0.325	0.086	0.531	-	-	0.735

(注) 表内の数字は偏相關係数

相関係数が0.7程度と比較的説明力があると言えよう。とくに、交通事故の危険・不安感Ⅱ、交通量意識Ⅱ、歩行時の危険・不安感Ⅱでは0.776、子供への世帯率、交通事故への危険・不安感Ⅱ、交通量意識Ⅱでは0.755、交通事故の危険・不安感Ⅱ、交通量意識Ⅱ、全体的な迷惑意識Ⅱでは0.717となる。表8は22地区をデータベースとして説明変数として、持家率、交通事故への危険・不安感Ⅱ、駐車量意識Ⅱの3指標で、各種個別意識指標について重回帰分析を行った結果である。騒音迷惑意識Ⅱが最もよく説明されており、重相関係数が0.915である。ついで、子供への遊び時の危険・不安感Ⅱで0.870、転居希望Ⅱ0.848、排気ガス迷惑意識Ⅱ0.821、振動迷惑意識Ⅱ0.801と全体的に良く説明されているといえよう。

4. 物理指標・個別意識指標と総合意識指標の関係

4.1 単相関分析

まず、23ブロックに関する物理指標と総合意識指標(IV: やや悪い, V: かなり悪い)

との相関係数マトリックスを表9に示す。総合意識指標の物理指標中自動車交通量と比較的高い相関がみられ、また、発着密度ともやや相関関係があるといえよう。つぎに、個別意識指標との相関係数マトリックスを表10に示す。0.7以上に相関関係があるのは、総合意識指標(IV+V)(個)、と迷惑意識(0.731)、交通量意識Ⅱ(0.733)、騒音迷惑意識Ⅱ(0.711)、転居希望Ⅱ(0.783)であり、他

の個別意識指標とも0.5, 0.6程度の相関

関係があるのが多い。つぎに、22地区における3種類の総合意識指標(I: かなり良い, II: かなり良い+やや良い)と個別意識指標との相関係数マトリックスを表11に示す。22地区における関係は23ブロックの相関係数より高くなっている。迷惑意識とは全て0.8以上とかなり強い負の相関がある。また、子供への遊び時の危険・不安感Ⅱに関するても高い負の相関関係があるがわかる。

4.2 クロス分析

23ブロックにおける総合意識指標(IV+V)と物理指標の代表として、自動車交通量を選び図12に、個別意識指標の代表として迷惑意識、転居希望Ⅱを選び図13、図14に示す。自動車交通量とは相関係

表8 個別意識指標による重回帰分析結果 II (22地区)					
説明変数	持家率	自動車による 危険不快感Ⅱ	交通事故Ⅱ	駐車 迷惑Ⅱ	偏相關係数
騒音Ⅱ	0.165	0.883	-0.531	0.915	
振動Ⅱ	0.746	0.744	-0.027	0.801	
排気ガス迷惑Ⅱ	0.140	0.786	-0.235	0.821	
遊び時の危険不安感Ⅱ	0.352	0.866	0.424	0.870	
転居希望Ⅱ	0.050	0.825	-0.058	0.848	

(注) 表内の数字は偏相關係数

物理指標	路線自動車 交通量	大型車 混入率	自転車 交通量	歩行者 交通量	駐車留置 発着密度
総合交通環境(世帯)Ⅳ	0.294	0.312	0.140	0.079	-0.034
(・)Ⅳ	0.631	0.194	0.224	0.312	0.082
(個人)Ⅳ+V	0.606	0.049	0.130	0.393	0.034
(・)Ⅴ	0.532	0.116	0.068	0.498	-0.117

表9 物理指標と総合意識指標の相関マトリックス (23ブロック)

意識指標	路線自動車 交通量	大型車 混入率	自転車 交通量	歩行者 交通量	駐車留置 発着密度
(総合) 迷惑Ⅱ	-	-	-	-	-
(個別) 迷惑Ⅱ	-	-	-	-	-
自動車による 危険不快感Ⅱ	0.434	0.201	0.731	0.426	-
自動車の交通量Ⅱ	0.340	0.475	0.753	0.576	-
駐車車Ⅱ	0.424	0.390	0.193	0.244	-
騒音Ⅱ	0.391	0.472	0.711	0.519	-
振動Ⅱ	0.339	0.322	0.680	0.574	-
排気ガス又迷惑Ⅱ	0.197	0.250	0.569	0.281	-
遊び時の危険不安感Ⅱ	0.295	0.343	0.551	0.323	-
歩行時の危険不安感Ⅱ	0.204	0.131	0.681	0.557	-
全体的な迷惑Ⅱ	0.130	0.151	0.614	0.259	-
転居希望Ⅱ	0.436	0.441	0.784	0.590	-

表10 個別意識指標と総合意識指標の相関マトリックス (23ブロック)

意識指標	路線自動車 交通量	大型車 混入率	自転車 交通量	歩行者 交通量	駐車留置 発着密度	迷惑Ⅱ	迷惑Ⅱ	迷惑Ⅱ	迷惑Ⅱ
総合Ⅳ	-	-	-	-	-	-	-	-	-
(個別) 迷惑Ⅱ	-	-	-	-	-	-	-	-	-
自動車による 危険不快感Ⅱ	0.434	0.201	0.731	0.426	-	-	-	-	-
自動車の交通量Ⅱ	0.340	0.475	0.753	0.576	-	-	-	-	-
駐車車Ⅱ	0.424	0.390	0.193	0.244	-	-	-	-	-
騒音Ⅱ	0.391	0.472	0.711	0.519	-	-	-	-	-
振動Ⅱ	0.339	0.322	0.680	0.574	-	-	-	-	-
排気ガス又迷惑Ⅱ	0.197	0.250	0.569	0.281	-	-	-	-	-
遊び時の危険不安感Ⅱ	0.295	0.343	0.551	0.323	-	-	-	-	-
歩行時の危険不安感Ⅱ	0.204	0.131	0.681	0.557	-	-	-	-	-
全体的な迷惑Ⅱ	0.130	0.151	0.614	0.259	-	-	-	-	-
転居希望Ⅱ	0.436	0.441	0.784	0.590	-	-	-	-	-

表11 個別意識指標と総合意識指標の相関マトリックス (22地区)

意識指標	路線自動車 交通量	大型車 混入率	自転車 交通量	歩行者 交通量	駐車留置 発着密度	迷惑Ⅱ	迷惑Ⅱ	迷惑Ⅱ	迷惑Ⅱ
(総合) 迷惑Ⅱ	-	-	-	-	-	-	-	-	-
(個別) 迷惑Ⅱ	-	-	-	-	-	-	-	-	-
自動車による 危険不快感Ⅱ	-0.737	-0.829	-0.739	-0.163	-0.662	-0.592	-0.672	-0.802	-0.773
(・)Ⅳ	-0.778	-0.842	-0.744	-0.059	-0.726	-0.659	-0.692	-0.763	-0.807
(個人)Ⅳ+V	-0.711	-0.806	-0.740	-0.213	-0.633	-0.610	-0.678	-0.830	-0.742
(・)Ⅴ	-0.719	-0.807	-0.719	-0.179	-0.645	-0.704	-0.668	-0.801	-0.760

の個別意識指標とも0.5, 0.6程度の相関

関係があるのが多い。つぎに、22地区における相関は23ブロックの相関係数より高くなっている。迷惑

意識とは全て0.8以上とかなり強い負の相関である。また、子供への遊び時の危険・不安感Ⅱに関するても高い負の相関関係があるがわかる。

4.2 クロス分析

23ブロックにおける総合意識指標(IV+V)と物理指標の代表として、自動車交通量を選び図12に、個別意識指標の代表として迷惑意識、転居希望Ⅱを選び図13、図14に示す。自動車交通量とは相関係

数0.607と正の相関があるが、ややバラツキが大きくなっている。迷惑意識との関係は相関係数0.731で迷惑意識が高いくなるにつれ総合意識指標も多少幅を持ちながら悪くなる。転居希望Ⅱとの相関係数0.785とかなり強い正の相関があり、総合意識指標を説明する重要な個別意識指標と考えられる。22地区について総合的に見て交通環境が良いと答えている割合と総合意識指標とを考え、個別意識指標の転居希望Ⅱとの関係を図15に、また、交通事故の危険・不安感Ⅱとの関係を図16に示す。

これらの関係は負のかなり強い相関関係があり、転居希望Ⅱとの相関係数-0.807、交通事故の危険・不安感Ⅱとは-0.720となっている。

4.3 重回帰分析

23ブロックのデータベースで複数個の物理指標を用いて重回帰分析を行った結果を表12、表13に示す。表12には物理指標として自動車交通量、大型車混入率、駐車密度を選び分析した結果である。重相関係数が高かったのは総合意識指標Ⅴ(世帯)で0.696であり、3つの物理指標中自動車交通量が最も影響力があると言えよう。表13には前分析の駐車密度のかわりに着席密度と用いた分析結果である。前分析よりもやや改善工されており、総合意識指標Ⅴ(世帯)で重相関係数が0.745となっている。つぎに、総合意識指標を個別意識指標で23ブロック、22地区別に重回帰分析を行った結果を表14、表15(23ブロック)、表16、表17(22地区)に示す。表14は交通事故へ危険・不安感、駐車迷惑意識Ⅱの3個別意識指標で分析を行っており、総合意識指標Ⅳ+V(個)が重相関係数が0.775と最も高い。表15に示す説明変数7の分析では総合意識指標Ⅳ+V(個)が重相関係数0.809と前分析の結果よりやや改善工れていく。

表16に示す指標7(22地区)について分析すれば重相関係数がすべて0.8以上とかなり説明力のある重回帰式が得られる。

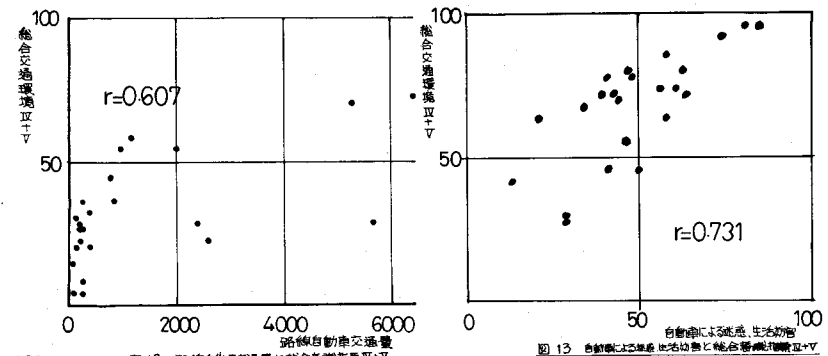


図12 路線自動車交通量と総合交通環境(IV+V)

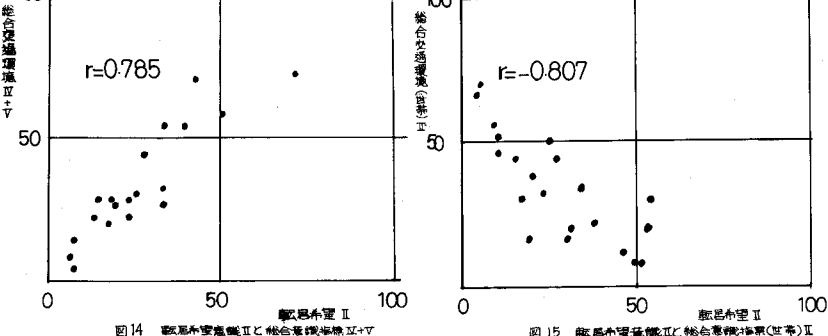


図13 自転車による迷惑・生活妨害と総合意識指標Ⅴ(世帯)



図14 駆逐希望Ⅱと総合意識指標Ⅴ(世帯)

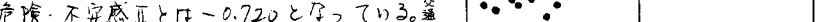


図15 危険不安感Ⅱと総合意識指標Ⅴ(世帯)

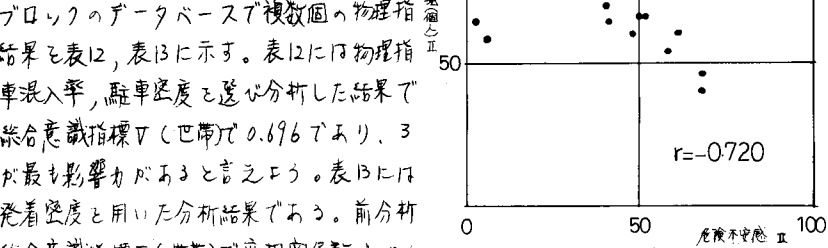


図16 危険不安感Ⅱと総合意識指標Ⅴ(世帯)



図17 危険不安感Ⅱと駐車迷惑Ⅱ

表12 物理指標による重回帰分析結果(1)(23ブロック)

説明変数	自動車	大型車 混入率	駐車 密度	重相関係数
総合交通環境(世帯)IV+V	0.266	0.283	0.101	0.403
・ (・) V	0.674	0.159	0.367	0.696
・ (個人) IV+V	0.641	-0.052	0.253	0.643
・ (・) V	0.559	-0.268	-0.009	0.580

表14 個別意識指標による重回帰分析結果 I (23ブロック)

説明変数	自動車による 危険不快感	駐車 迷惑Ⅱ	駆逐 希望Ⅱ	重相関係数
総合交通環境(世帯)IV+V	0.118	0.368	0.432	0.598
・ (・) V	-0.042	0.462	0.337	0.562
・ (個人) IV+V	0.268	0.715	0.271	0.775
・ (・) V	0.131	0.513	0.411	0.660

表15 個別意識指標による重回帰分析結果 II (22地区)

説明変数	迷惑意識	駐車 迷惑Ⅱ	駆逐 希望Ⅱ	重相関係数
総合交通環境(世帯) I	-0.636	0.459	-0.323	0.872
・ (・) I	-0.522	0.268	-0.334	0.866
・ (個人) I	-0.628	0.458	-0.275	0.854
・ (・) I	-0.595	0.433	-0.320	0.853

表16 個別意識指標による重回帰分析結果 I (22地区)

説明変数	自動車による 危険不快感	駐車 迷惑Ⅱ	駆逐 希望Ⅱ	重相関係数
総合交通環境(世帯) I	-0.399	-0.377	-0.381	0.845
・ (・) I	-0.494	-0.289	-0.225	0.827
・ (個人) I	-0.308	-0.411	-0.503	0.864
・ (・) I	-0.357	-0.375	-0.406	0.840

また、表17においても重相関係数が0.8以上の結果が得られ比較的良く説明されているようである。

5. 総合交通環境評価へのアプローチ

5.1 総合交通環境評価へ考え方 総合交通環境を考える場合、单一の式で説明しきれない場合が多い。したがって、複数個の評価式で多方面からの評価を行うのが適切であろう。本研究ではこのような観点により、特徴のある種々の物理指標で表わされる重回帰式、あるいは個別意識指標で表わされる重回帰式を多數用いて、数多くの予測値を算出し、予測値の平均化を試みている。すなわち、单一の式での予測値にはかなりバラツキがあり、そのバラツキを複数個の予測値で小さくすることにより信頼性を高めることにある。また、予測値を考慮した予測値と環境評価ランクとの関係を考えることにより、地区交通環境評価を行なう目安ともなる。

5.2 複数個の重回帰式を用いた予測値の推定 多数の重回帰式

を用いて予測の平均化を試みる。異った特徴のある重回帰式を一式ずつ加之、その予測値の平均と実測値との相関係数を求め、そへ適合度を見た。いま、23都道府県データベースとした総合意識指標I+II(世)、IV+V(世)に關しての予測値の推定結果を図17、図18にまた、22地区をデータベースにした総合意識指標の推定結果を図19に示す。3図とも單一個での予測値と実測値の相関係数変化に比べ複数個での相関係数が非常に安定していることがわかる。このことからも、複数個の重回帰式を用いて予測する方法が、かなり良精度にようといえよう。

5.3 重回帰式による予測値の分布を考慮した総合評価

交通環境を評価する基準の代表として交通量を遙り千段階にランク分けし、予測値との関係を図20に示す。予測値は多数の重回帰式により求めた分布幅を図示している。予測値の分布幅はかなり大きくなってしまうが交通量ランクが変化するに従い右上りの傾向がうかがわれる。しかし、未だ十分には交通環境の評価がなされたとは言ひがたい。

6. 今後の課題

交通環境に関する要因分析、評価方法について述べたが、複数個の評価式で予測する方法が、交通環境を評価する上で適していると考えられる。しかし、交通環境を評価する基準を設定するに至っていない。今後も説明力のある評価式を作成、交通環境評価基準の設定等に関する研究が必要であろう。

<参考文献>

- 1) 青島総次郎；道路交通計画における環境評価システムに関する研究(学位論文)
- 2) 大阪交通科学研究所都市基盤班；交通と沿道環境に関する研究の1～3年半、1972～1975
- 3) 西村・高井；住宅における交通環境への影響分析、交通科学 Vol.1.7、1978
- 4) 生活リーン規制研究会；生活リーン規制に関する基礎的研究(第1年度、第2年度)；1979、1980
- 5) 近畿大学工学部防災研究室卒業論文；住宅地における交通環境の評価、1979
- 6) 西村・高井・藤本；交通環境指標の重回帰分析、第3回環境問題シンポジウム、1975
- 7) 三星・浜野；意識的「交通環境」指標へ考え方と「交通環境」の実態について、
- 8) 西村・高井；住宅地における交通と沿道環境の分析について、日本建築学会第33回国際学術講演、1978

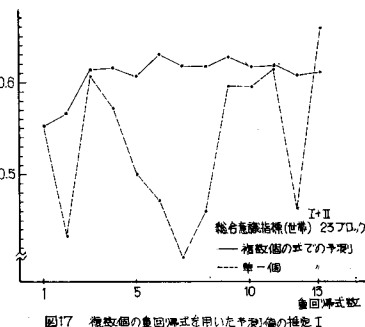


図17 複数個の重回帰式を用いた予測値の推定Ⅰ

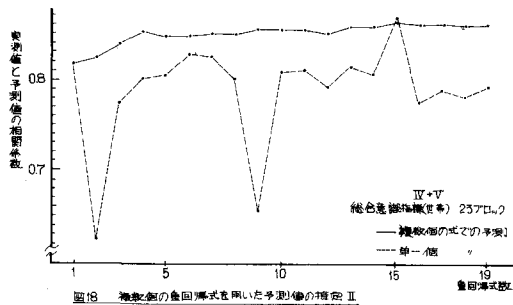


図18 複数個の重回帰式を用いた予測値の推定Ⅱ

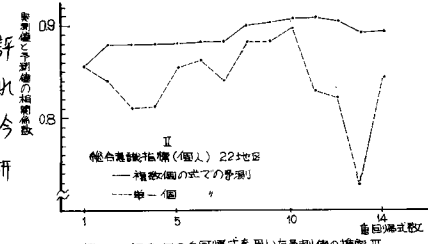


図19 複数個の重回帰式を用いた予測値の推定Ⅲ

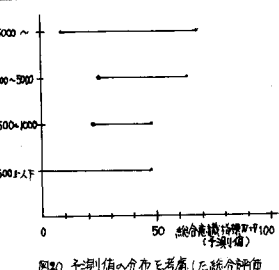


図20 予測値の分布を考慮した総合評価